

Detección Indirecta de Materia Oscura

Alma Gonzalez
Cátedra CONACYT
Universidad de Guanajuato

Materia Oscura

Definición básica

- Fría
- No colisional
- Neutra
- Interactua solo gravitacionalmente

Algunos modelos atractivos:

- Extensiones al Modelo Estándar (ME) de Partículas:
 - Débilmente interactuante
 - Auto-interacciones

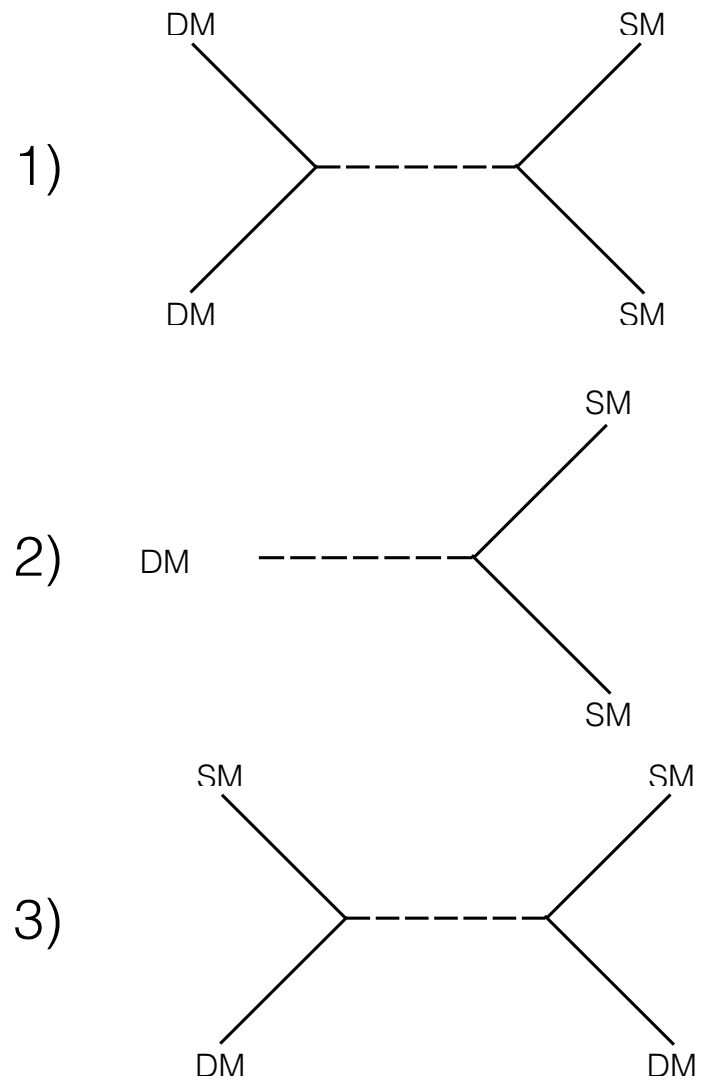
Algunos modelos atractivos:

-WIMPS

-Neutrinos esteriles

- Partículas tipo axión (campos escalares)

Detección de Materia Oscura



A. A. Abdo et al. 2010

A. A. Abdo et al. 2010

M. Ackermann et al. 2012

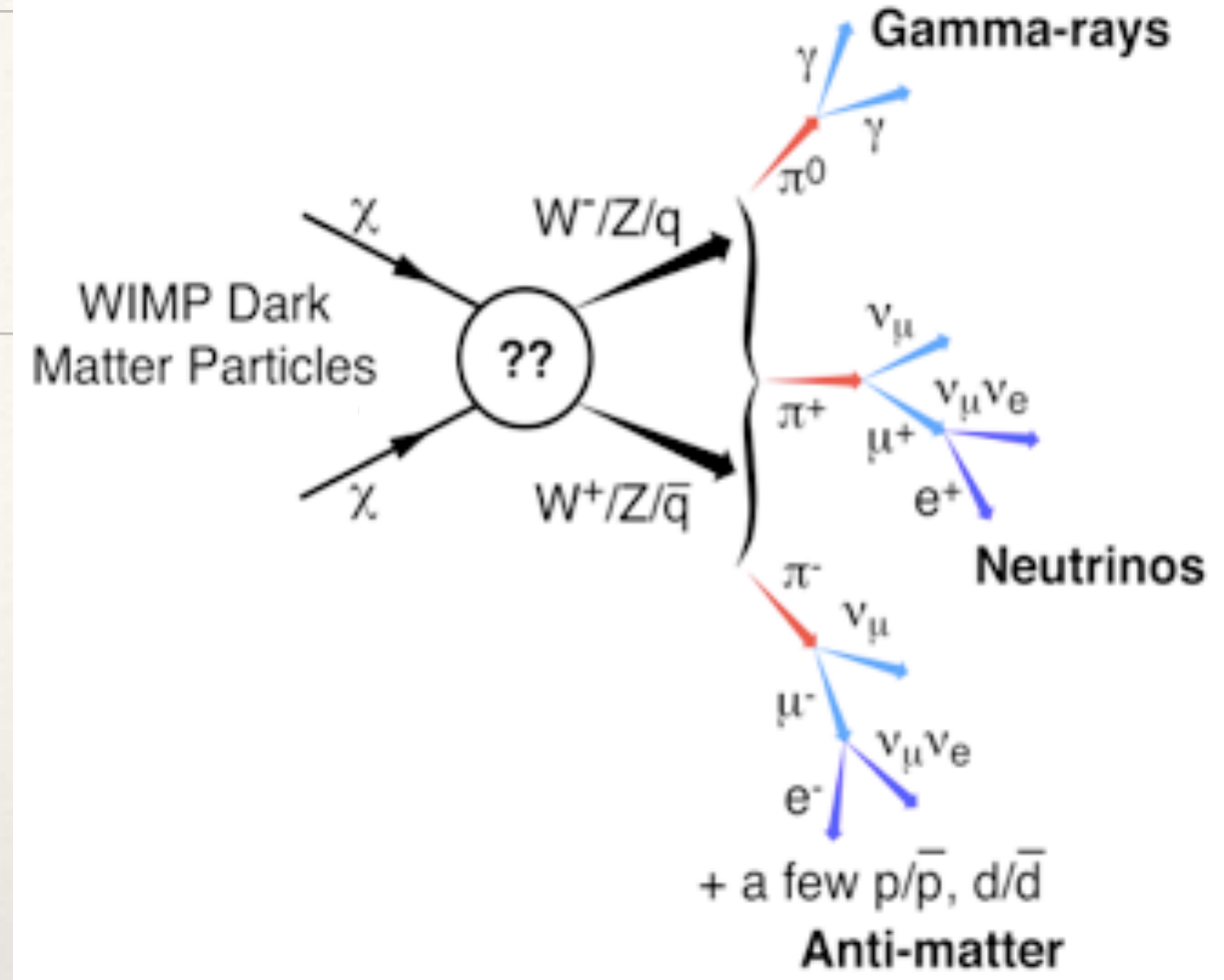
Detección indirecta

- ❖ Detección de los productos de la aniquilación o decaimiento de materia oscura en partículas del ME.

Galaxias enanas esferoidales (dSph's)

Centro Galáctico

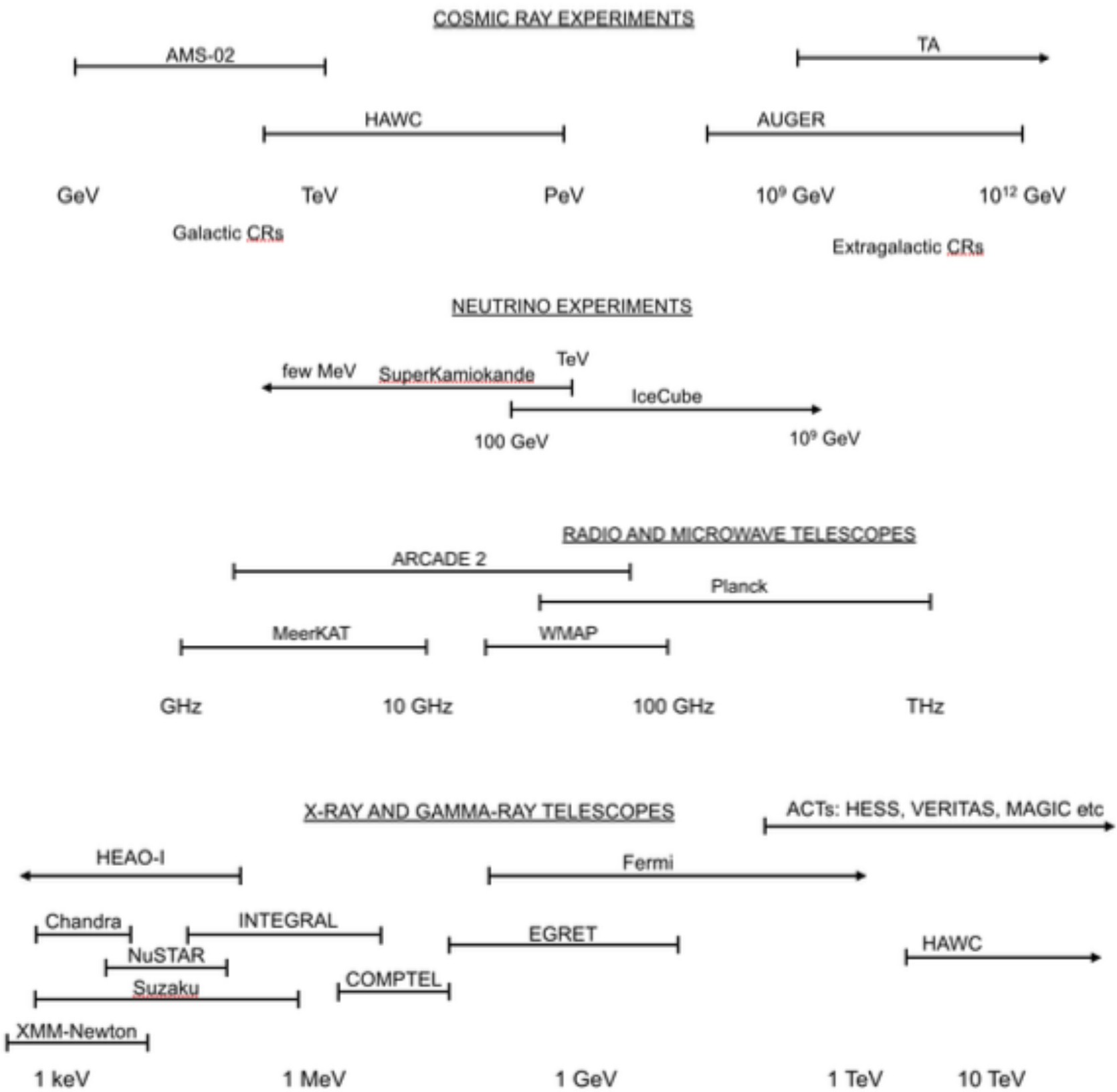
Cúmulos de Galaxias



Detección muy-indirecta

- ❖ Efecto de la aniquilación/decaimiento de materia oscura en observables cosmológicas: CMB, Reionización, LSS.

Detección indirecta



Detección indirecta

Flujo de rayos
gammas

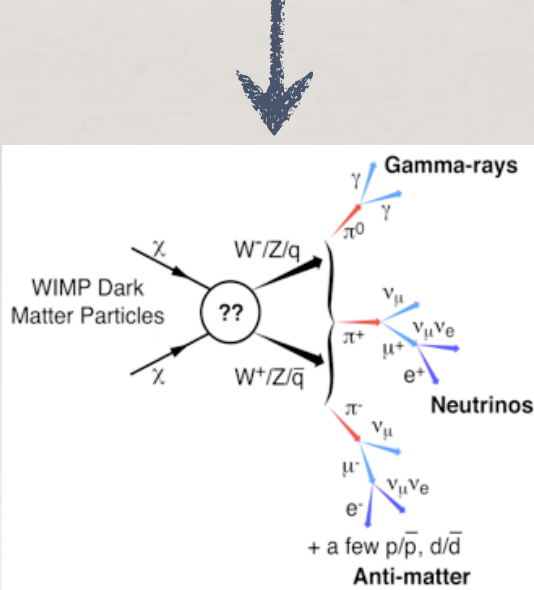
$$\phi(\Delta\Omega)$$

Física de partículas

$$= \frac{1}{4\pi} \frac{\langle\sigma v\rangle}{2m_\chi} \left(\int_{E_{\min}}^{E_{\max}} \frac{dN_\gamma}{dE_\gamma} dE_\gamma \right)$$

Factor Astrofísico

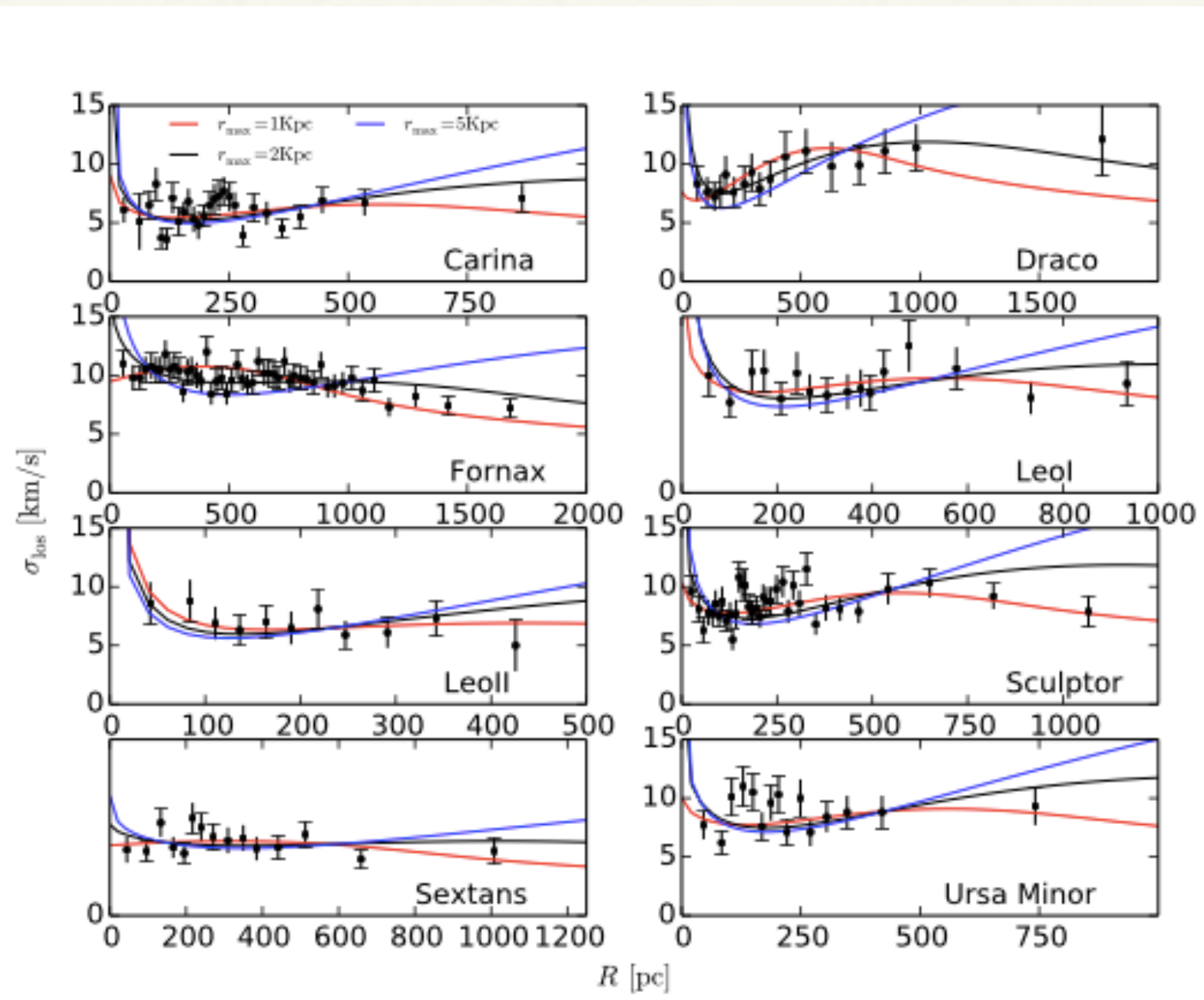
$$J_{\Delta\Omega}$$



$$J_{\Delta\Omega} = \int_{\Delta\Omega} \int_{los} \rho^2 dl d\Omega.$$

Distribución de
materia oscura.

Dinámica de galaxias para acotar la distribución de Materia Oscura



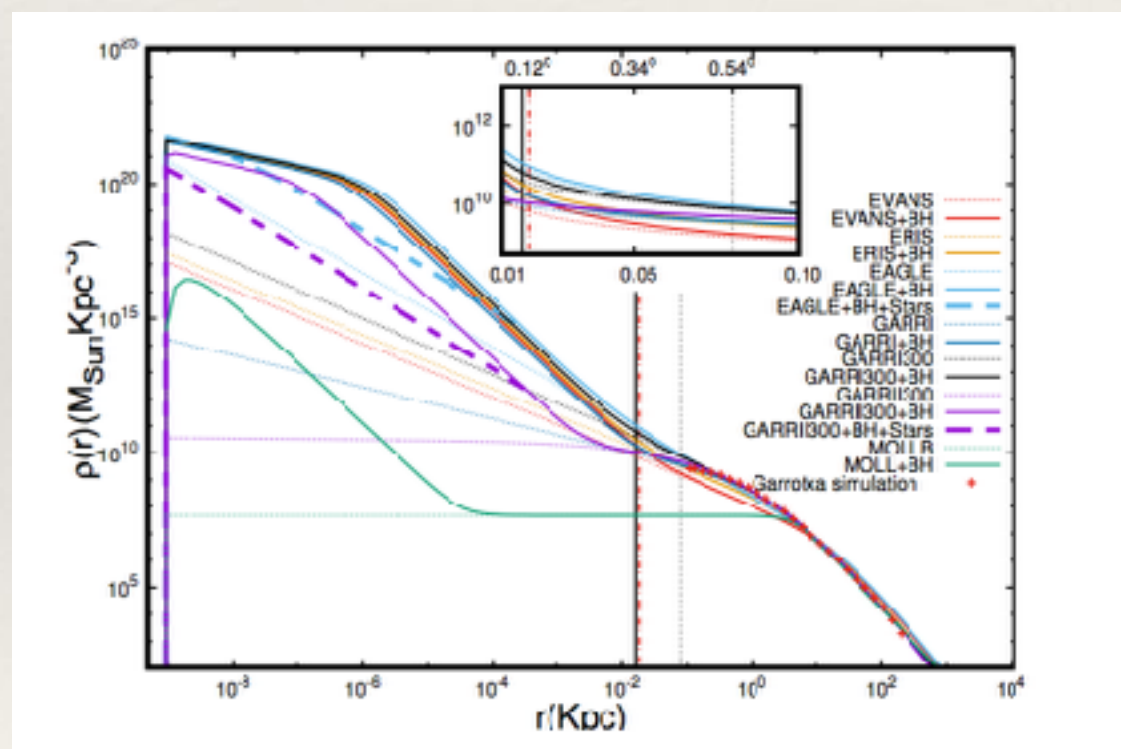
Distribución de Materia Oscura

NFW

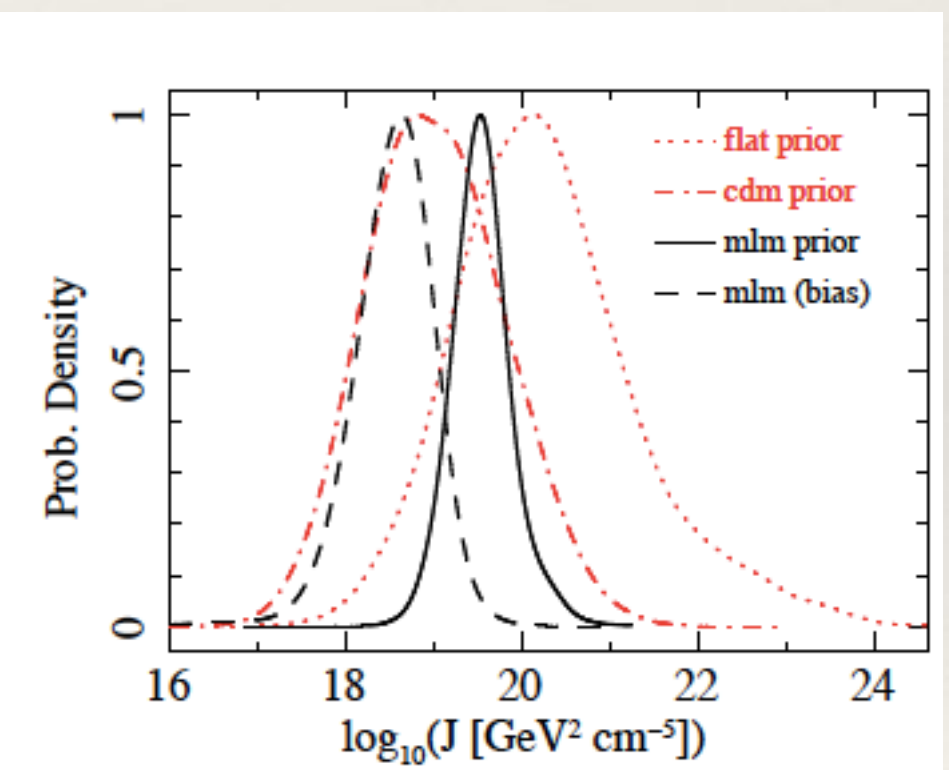
$$\rho = \frac{\rho_0}{\frac{r}{r_s} \left(1 + \frac{r}{r_s}\right)^2}$$

Burkert

$$\rho = \frac{\rho_0}{\left(1 + \frac{r}{r_s}\right) \left(1 + \frac{r^2}{r_s^2}\right)}$$



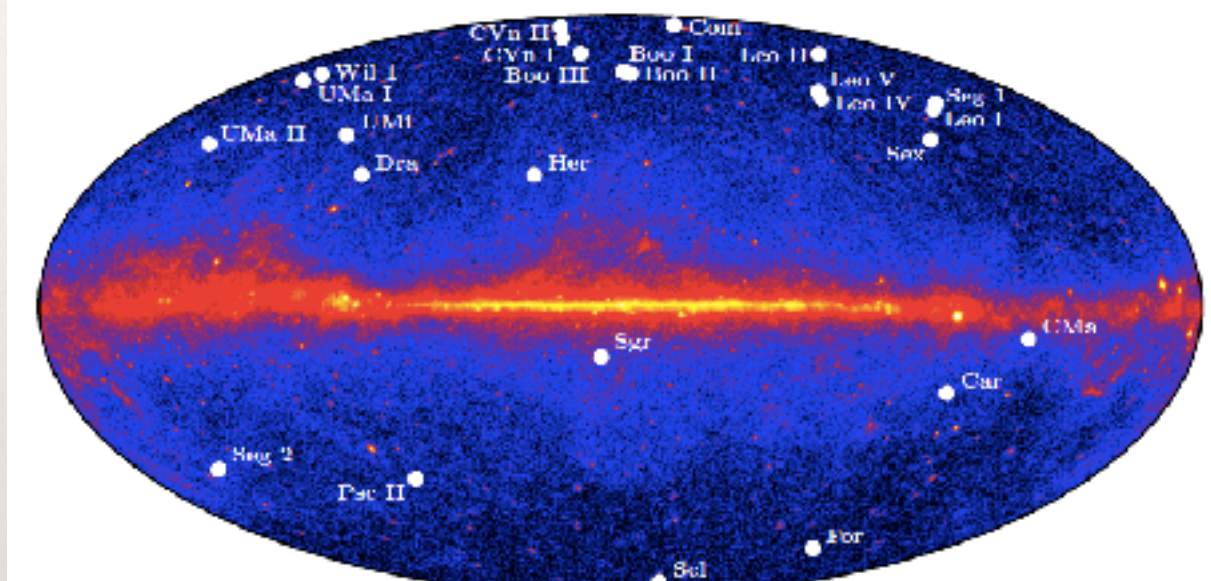
Centro Galáctico



Galaxias enanas

Detección indirecta en dSph's

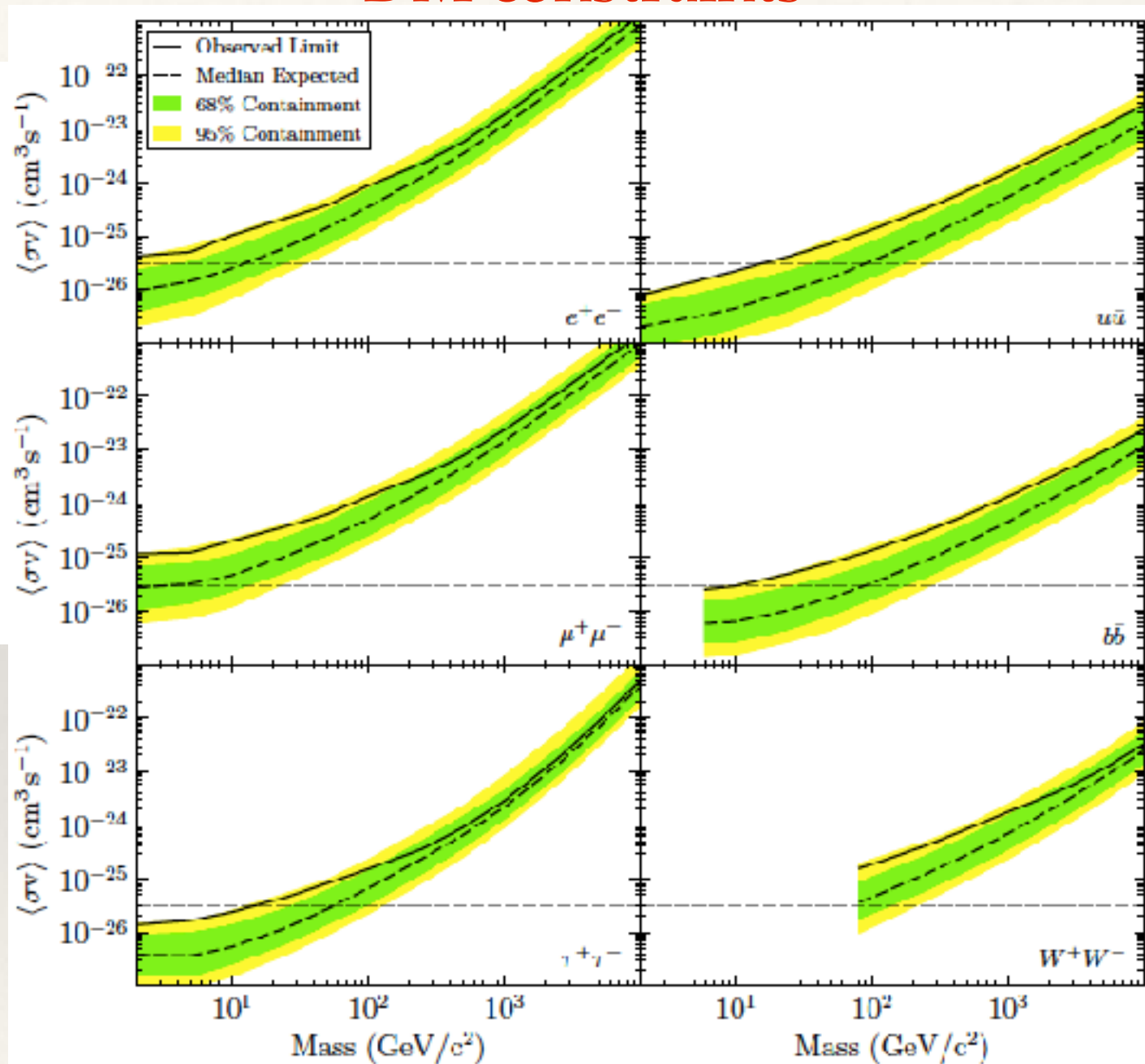
No signal



$$\phi(\Delta\Omega) = \frac{1}{4\pi} \frac{\langle\sigma v\rangle}{2m_\chi} \left(\int_{E_{\min}}^{E_{\max}} \frac{dN_\gamma}{dE_\gamma} dE_\gamma \right) J_{\Delta\Omega}$$

común a todas las dSphs

DM constraints



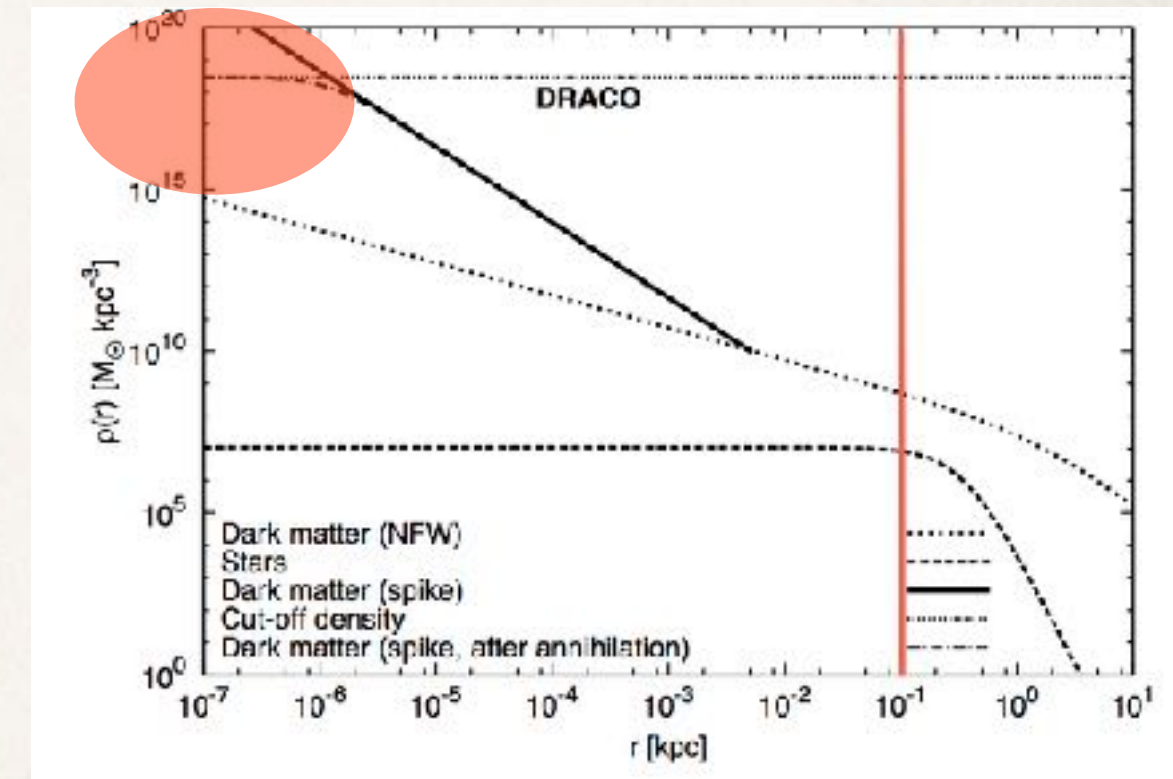
J-factor en presencia de un agujero negro...

$$\dot{n}_\chi = \langle \sigma v \rangle n_\chi^2 \quad n_\chi = \frac{n_\chi}{1 + n_\chi \Delta t}$$

Core debido a la aniquilación



$$\rho_{\max} = 3 \times 10^{18} \left(\frac{m_\chi}{100 \text{GeV}} \right) \left(\frac{10^{-26} \text{cm}^3 \text{s}^{-1}}{\langle \sigma v \rangle} \right) M_\odot \text{kpc}^{-3}$$



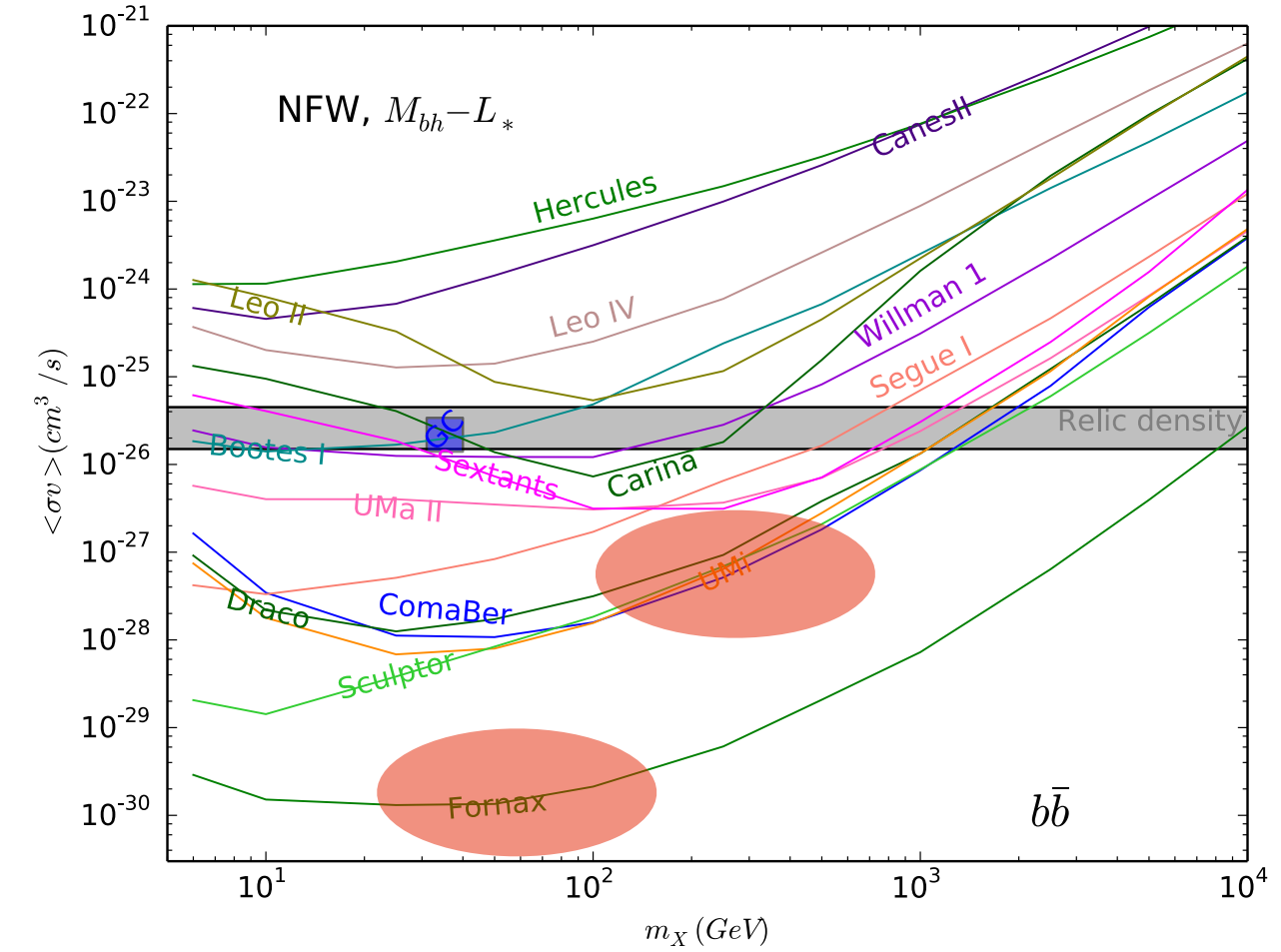
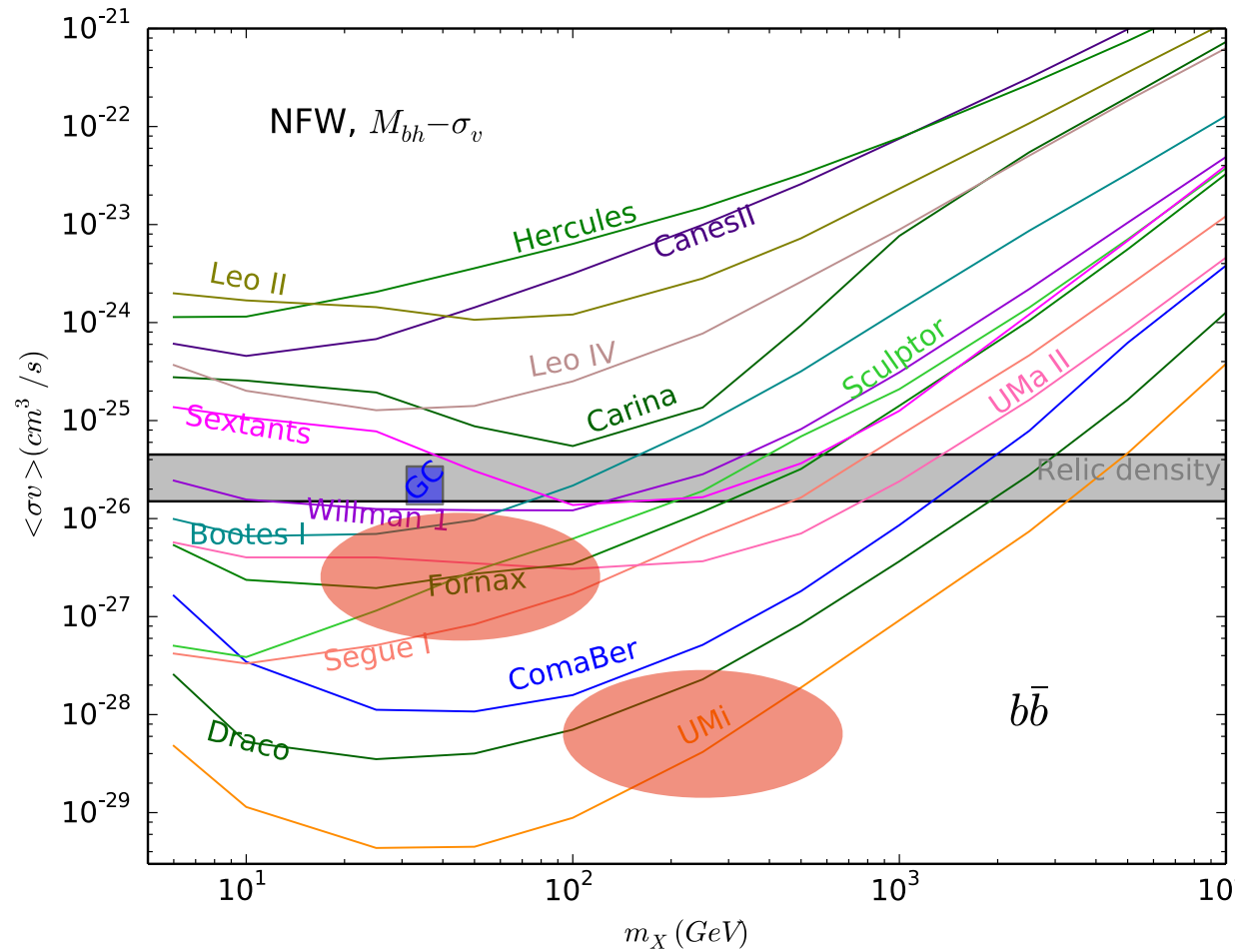
$$J_{\Delta\Omega} = \int_{\Delta\Omega} \int_{los} \rho^2(r(l, \theta), \langle \sigma v \rangle, m_\chi) dl d\Omega$$

AXGM, S.Profumo, F. Queiroz 2013

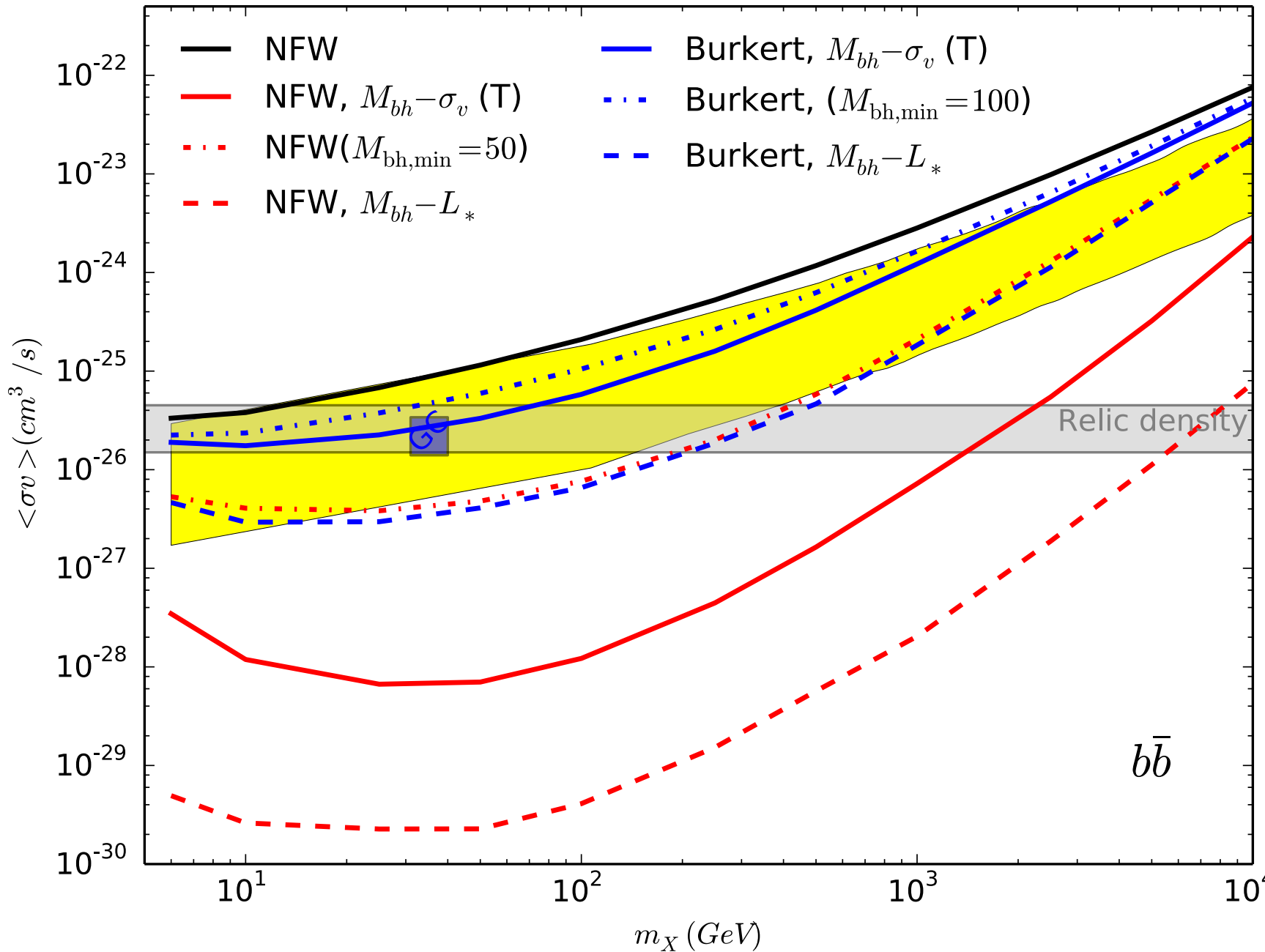
Usamos las restricciones de FERMI como base

$$\langle \sigma v \rangle J = \langle \sigma v \rangle_{bh} J_{bh} (\langle \sigma v \rangle_{bh}, m_\chi) \quad \forall \quad m_\chi.$$

resolvemos para $\langle \sigma v \rangle_{bh}$

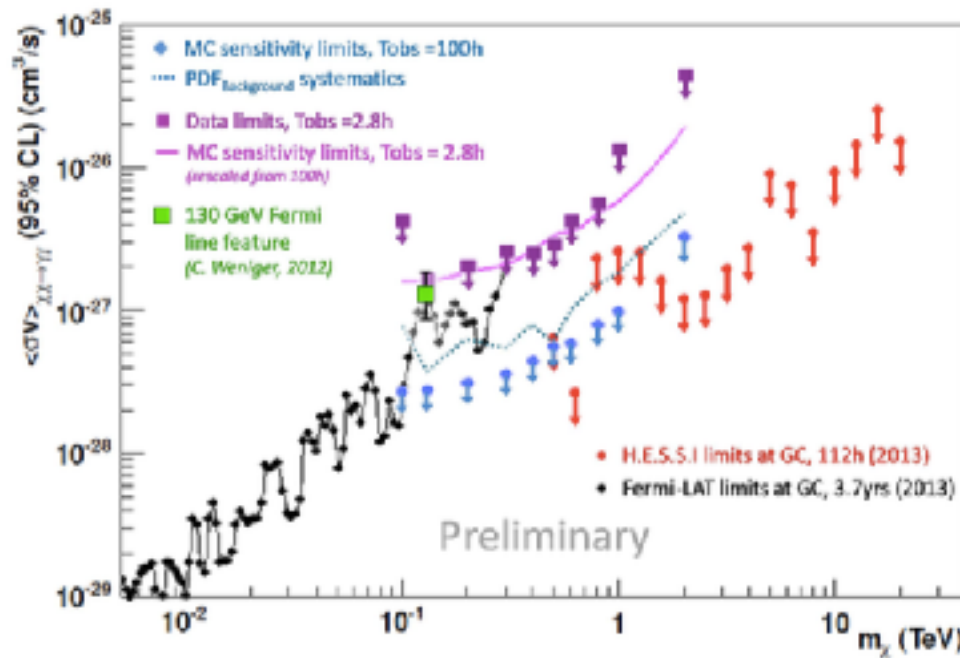


Todas la galaxias enanas juntas

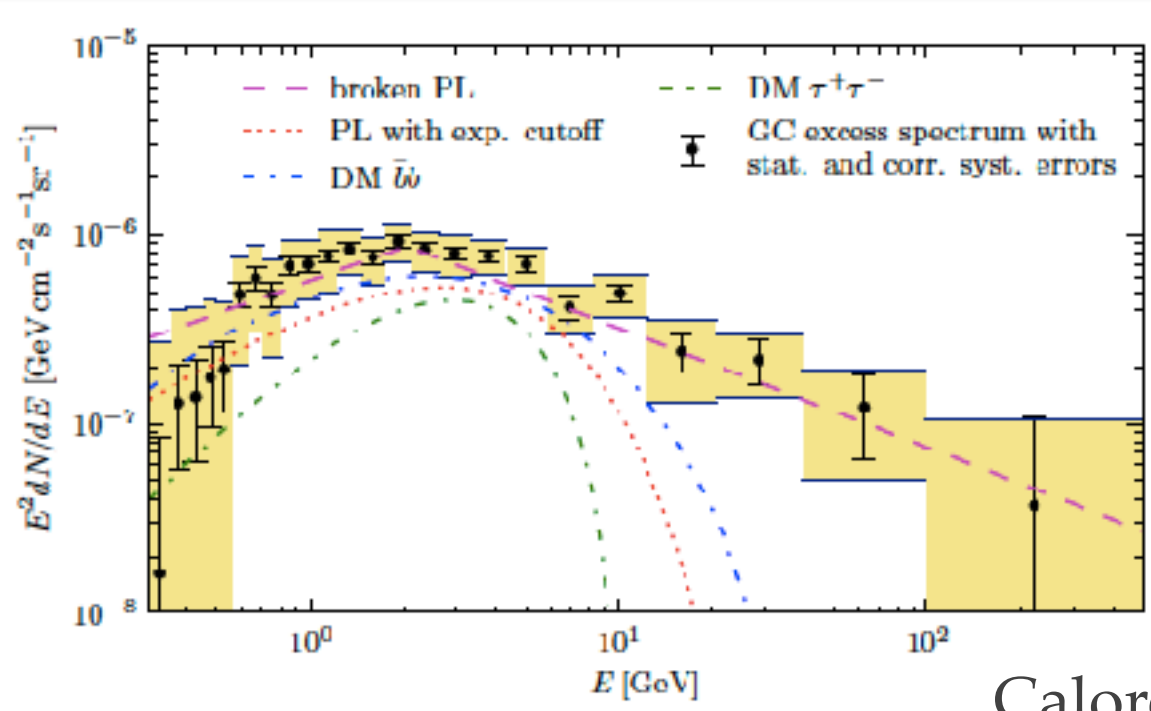


Fermi current analysis
cover some of the
scenarios with
IMBHs.

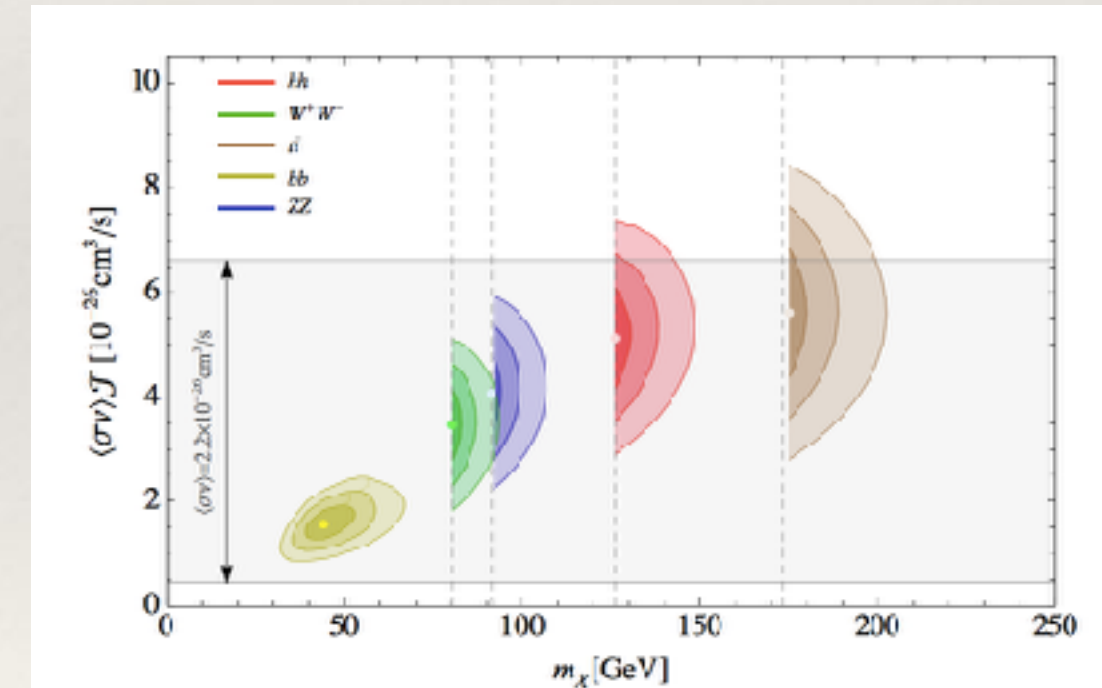
Detección indirecta en CG



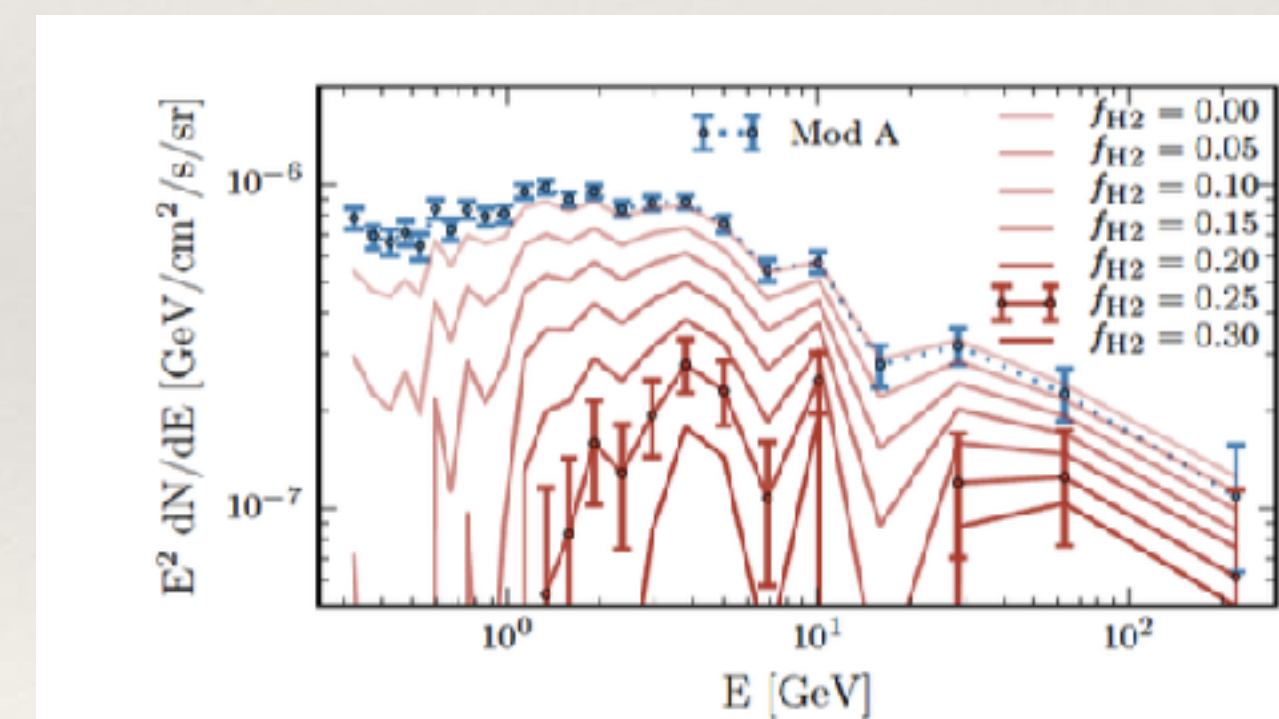
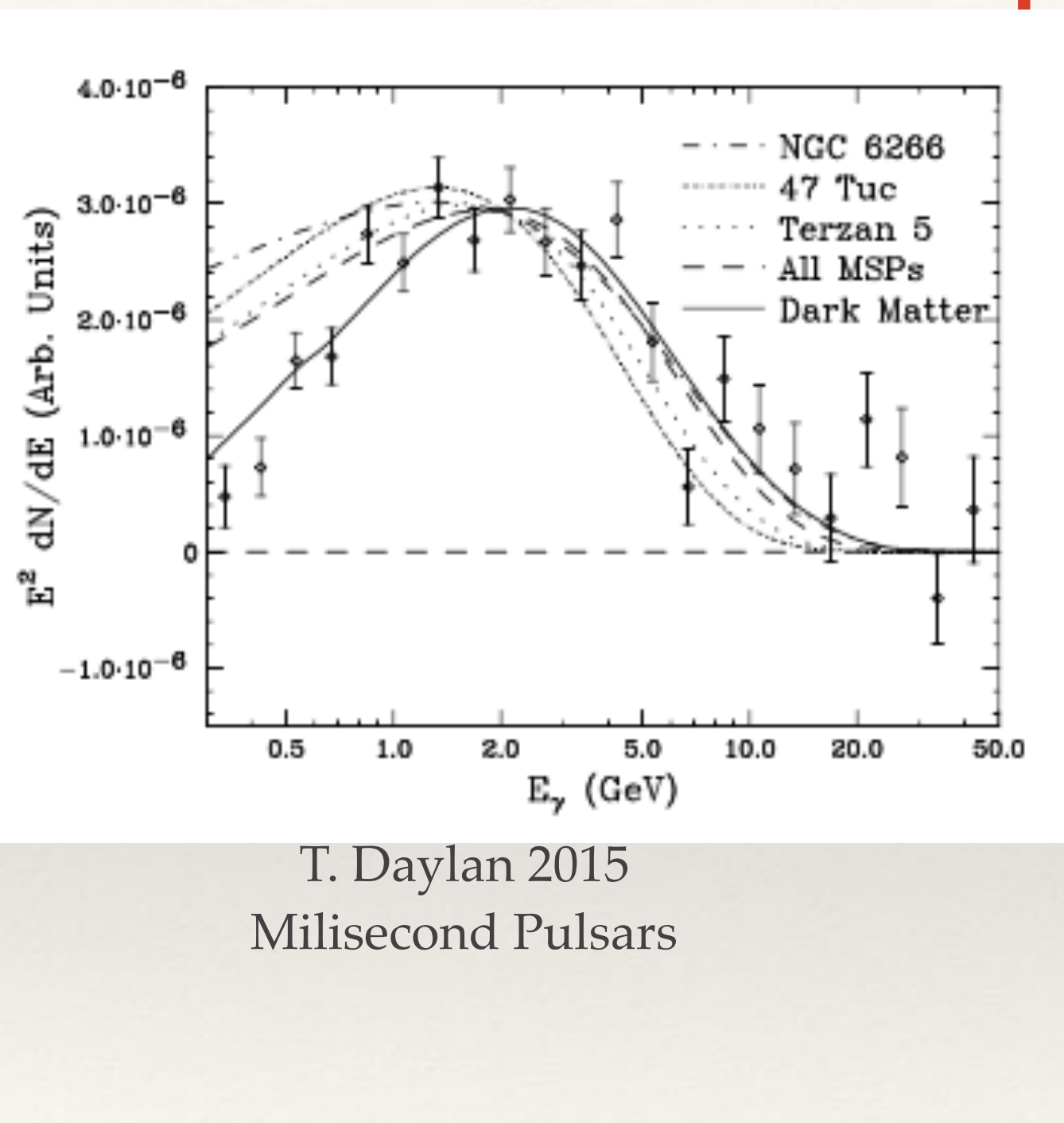
Excesso en 1-3 GeV



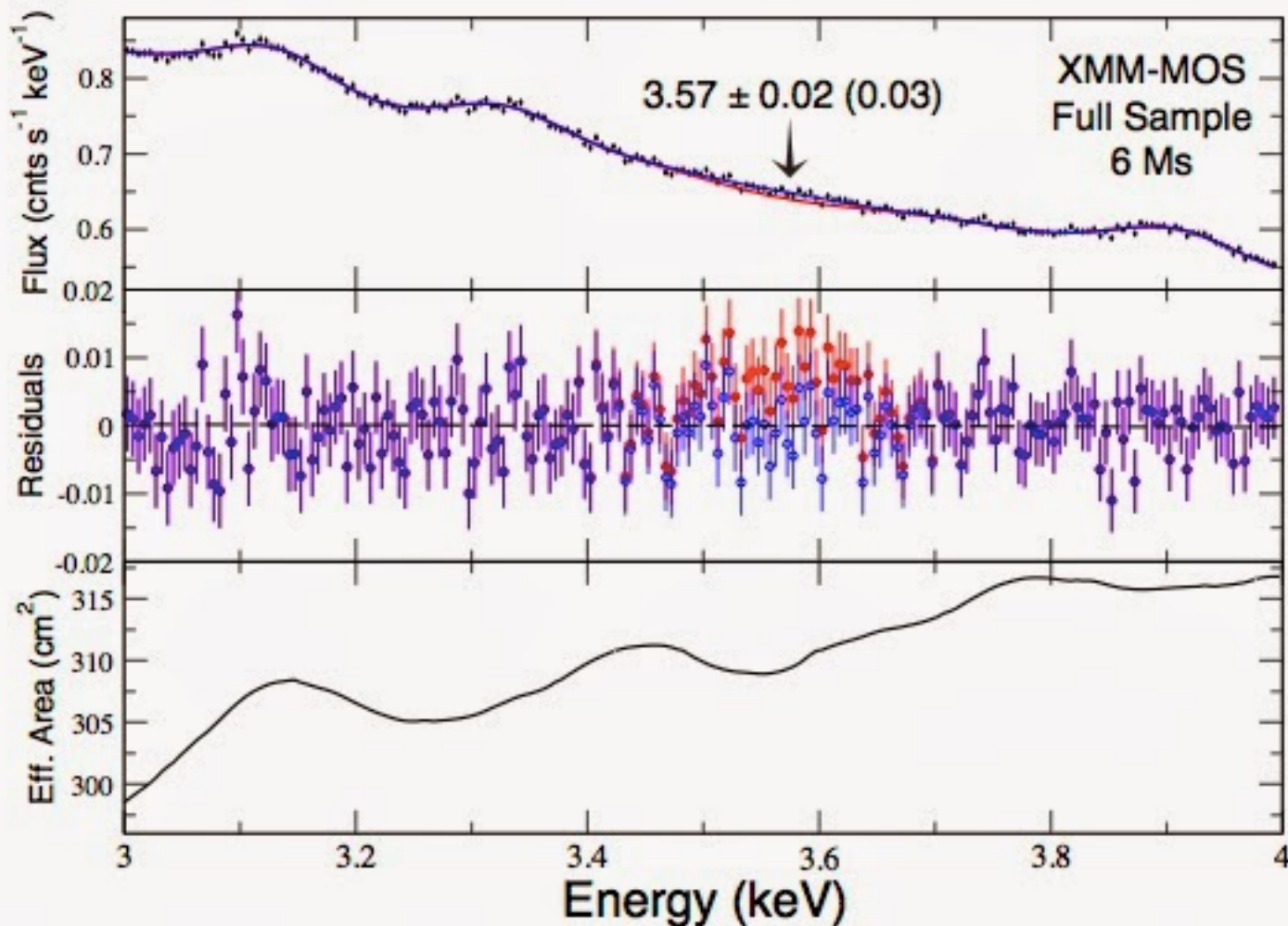
Calore 2014



Otras explicaciones



3.5 KeV line (73) Cumulos de Galaxias

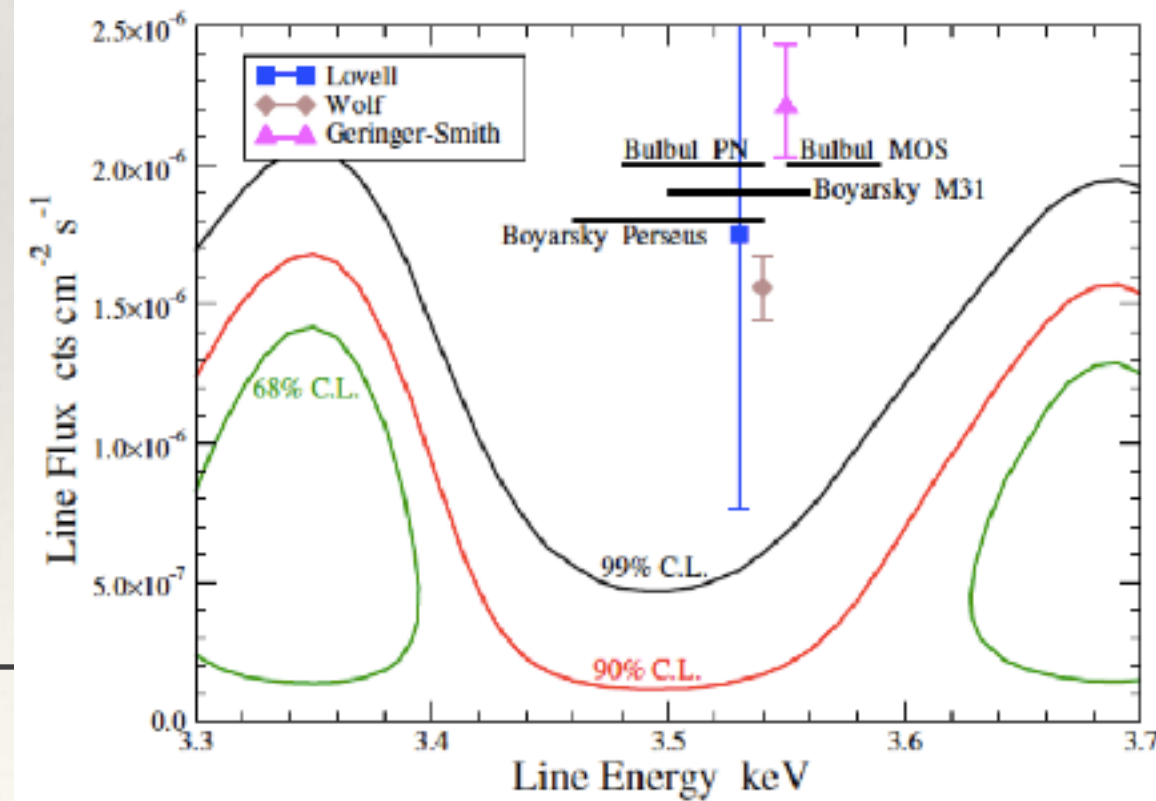


Bulbul+ (2014)

No hay evidencia en d sph's (Draco)
(Jeltema.Profumo 2015)

No hay evidencia en cúmulos individuales
(Hitomi Collaboration 2016)

Consistente con líneas de KXVIII
a 3.48 y 3.52 keV
(Jeltema.Profumo 2014)



Nueva generación de detectores

- ❖ Explorarán el rango de MeV y un empalés con FERMI:
- ❖ GAMMA-400 (2020) $\sim 100 \text{ MeV} - 3 \text{ TeV}$
- ❖ Propuestas para eliminar el gap entre 0.2 MeV - $\sim 100 \text{ MeV}$: e-ASTROGAM, GRIPS, PANGU, ACT, and others.

V. Tatischeff et al. 2016

J. Greiner, K., et al. 2011

X. Wu, et al. 2014

S. E. Boggs et al. 2006

Historia Térmica y CMB

- ❖ Aniquilación de MO inyecta energía en el medio intergaláctico

Energy injected !

$$\frac{dE}{dtdV} = \rho_c^2 c^2 \Omega_\chi^2 (1+z)^6 \frac{\langle \sigma v \rangle}{m_\chi}$$

- ❖ No toda la energía se absorbe

$$\frac{dE}{dtdV}_{\text{absorbed}} = f(z) \frac{dE}{dtdV}_{\text{injected}}$$

Mathematica: <http://nebel.rc.fas.harvard.edu/epsilon>

epsilon

Python: <https://github.com/JavierReynoso/feff.git>

- ❖ Función de eficiencia. $f(z)$

- . T. R. Slatyer, Phys. Rev. D93, 023527 (2016),
1506.03811.

Gamma-rays from DM

$$m_{\pi^0} \lesssim m_\chi \lesssim 1 \text{ GeV}$$

- ❖ 6 canales de aniquilación

$$\chi\chi \rightarrow \gamma\gamma$$

$$\chi\chi \rightarrow \gamma\pi^0$$

$$\chi\chi \rightarrow \pi^0\pi^0$$

$$\chi\chi \rightarrow \bar{l}l \quad (l = e, \mu)$$

$$\chi\chi \rightarrow \pi^+\pi^-$$

- ❖ Espectro de energía

$$\frac{dN}{dE}_{\gamma\gamma} = 2\delta(E - m_\chi)$$

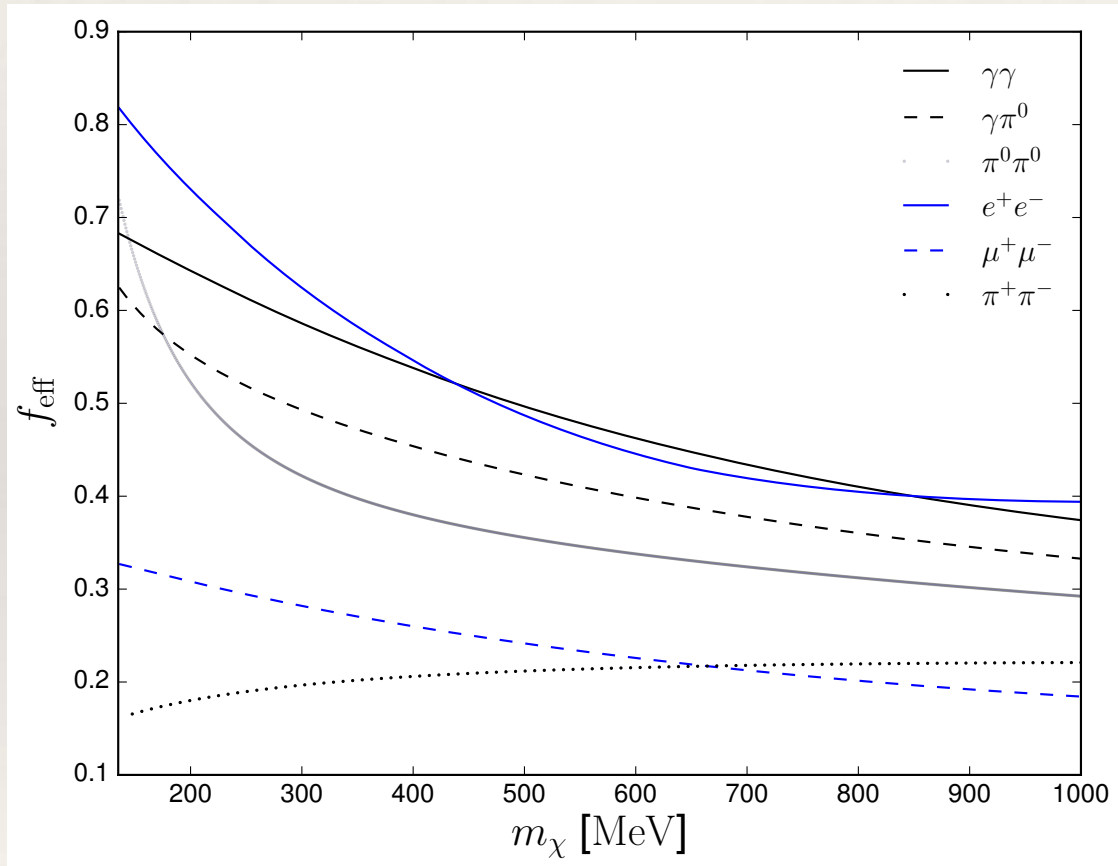
$$\frac{dN}{dE}_{\gamma\pi^0} = \delta\left(E - \left(m_\chi - \frac{m_{\pi^0}^2}{4m_\chi}\right)\right) + \frac{2}{m_\chi - \frac{m_{\pi^0}^2}{4m_\chi}}$$

$$\frac{dN}{dE}_{\pi^0\pi^0} = \frac{4}{\sqrt{\frac{s}{4} - m_{\pi^0}^2}}$$

$$\frac{dN}{dE}_{ll} = \frac{\alpha}{\pi} \left(\frac{1 - (1 - y)^2}{y} \right) \left(\ln \frac{s(1 - y)}{m_l^2} \right)$$

Thermal history and CMB constraints

DM canales de aniquilación $\longrightarrow \frac{dN^{e^-(e^+)}}{dE} \frac{dN^{(\gamma)}}{dE} \longrightarrow f_{\text{eff}}$
se obtiene



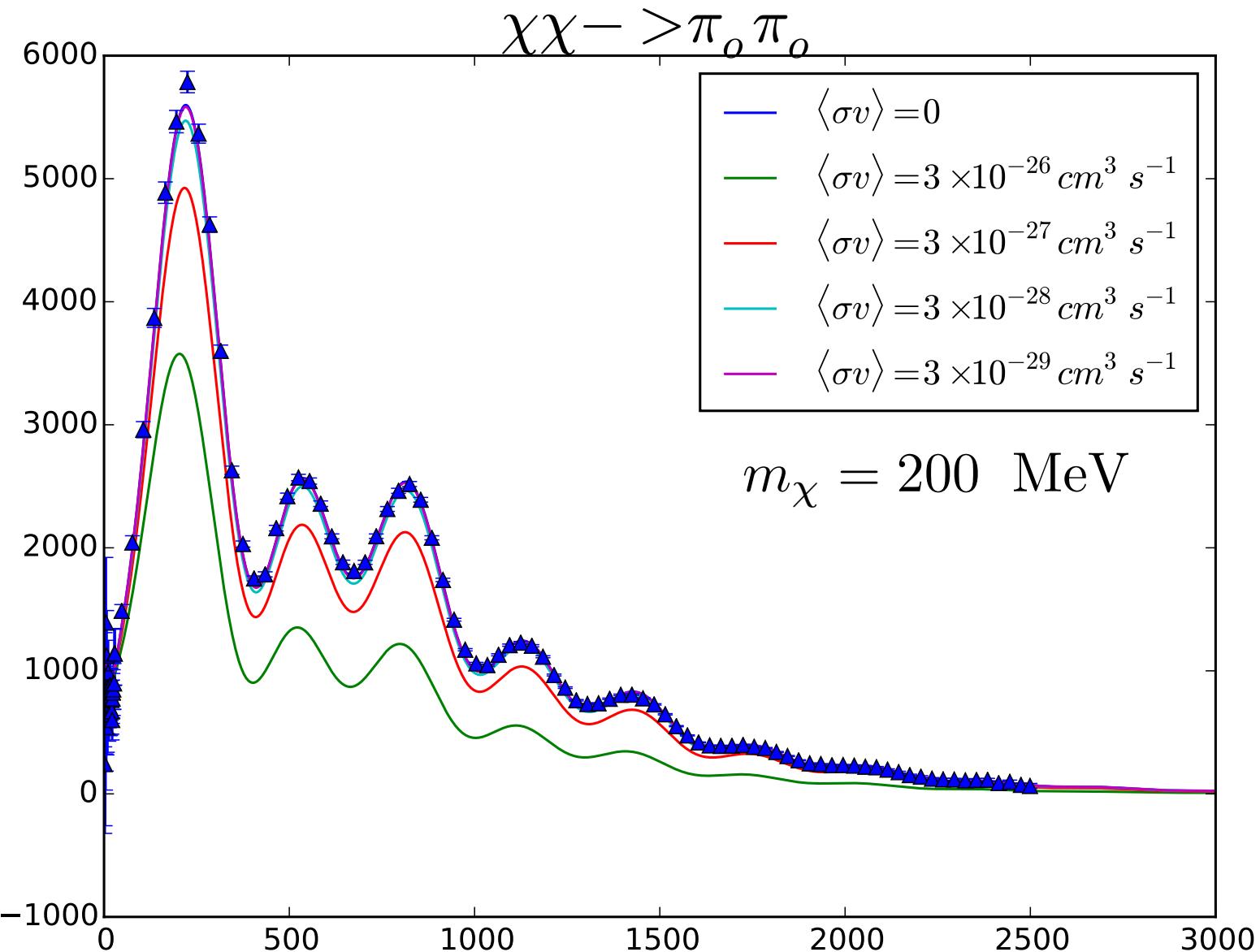
$$P_{\text{ann}} = f_{\text{eff}} \frac{\langle \sigma v \rangle}{m_\chi}$$

$$\langle \sigma v \rangle < \frac{m_\chi}{f_{\text{eff}}} P_{\text{ann}}$$

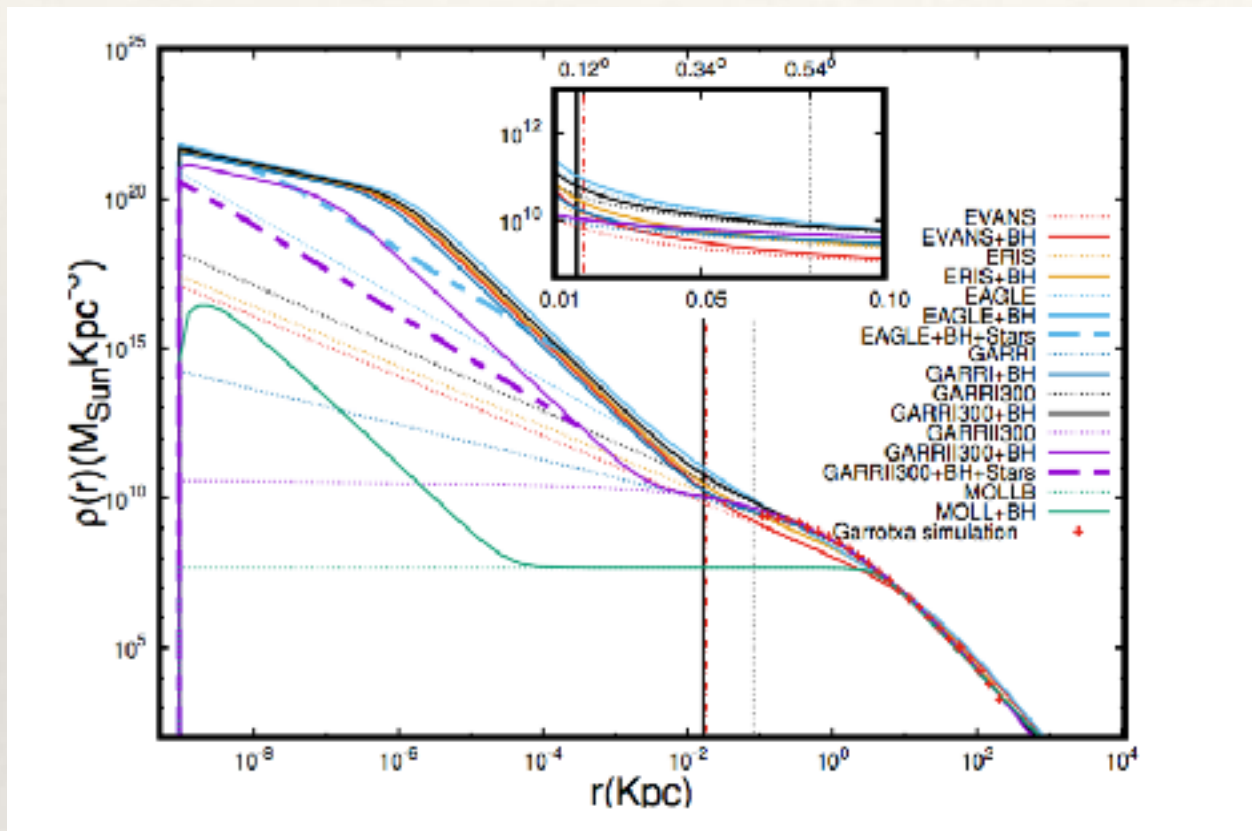
$$P_{\text{ann}} < 4.1 \times 10^{-28} \text{ cm}^3 \text{s}^{-1} \text{GeV}^{-1}$$

P. A. R. Ade et al. 2016

Historia Térmica y CMB



Detección



$$\phi = J(\Delta\Omega) \cdot \frac{1}{4\pi} \frac{\langle\sigma v\rangle}{2m_\chi^2} \int dE \frac{dN}{dE} \gamma$$

$$\log_{10}(J_{\text{Draco}}/\text{GeV}^2\text{cm}^{-5}) = 19.05^{+0.22}_{-0.21}[10]$$

$$\log_{10}(J_{\text{GC}}/\text{GeV}^2\text{cm}^{-5}) \sim 19 - - 23[9]$$

- [9] V. Gammaldi, V. Avila-Reese, O. Valenzuela, and A. X. Gonzales-Morales, Phys. Rev. D94, 121301 (2016), 1607.02012.
- [10] K. K. Boddy, K. R. Dienes, D. Kim, J. Kumar, J.-C. Park, and B. Thomas, Phys. Rev. D94, 095027 (2016), 1606.07440.

Detección

$$N_s \sim N_\sigma \sqrt{N_b}$$

$$N_\sigma = 5$$

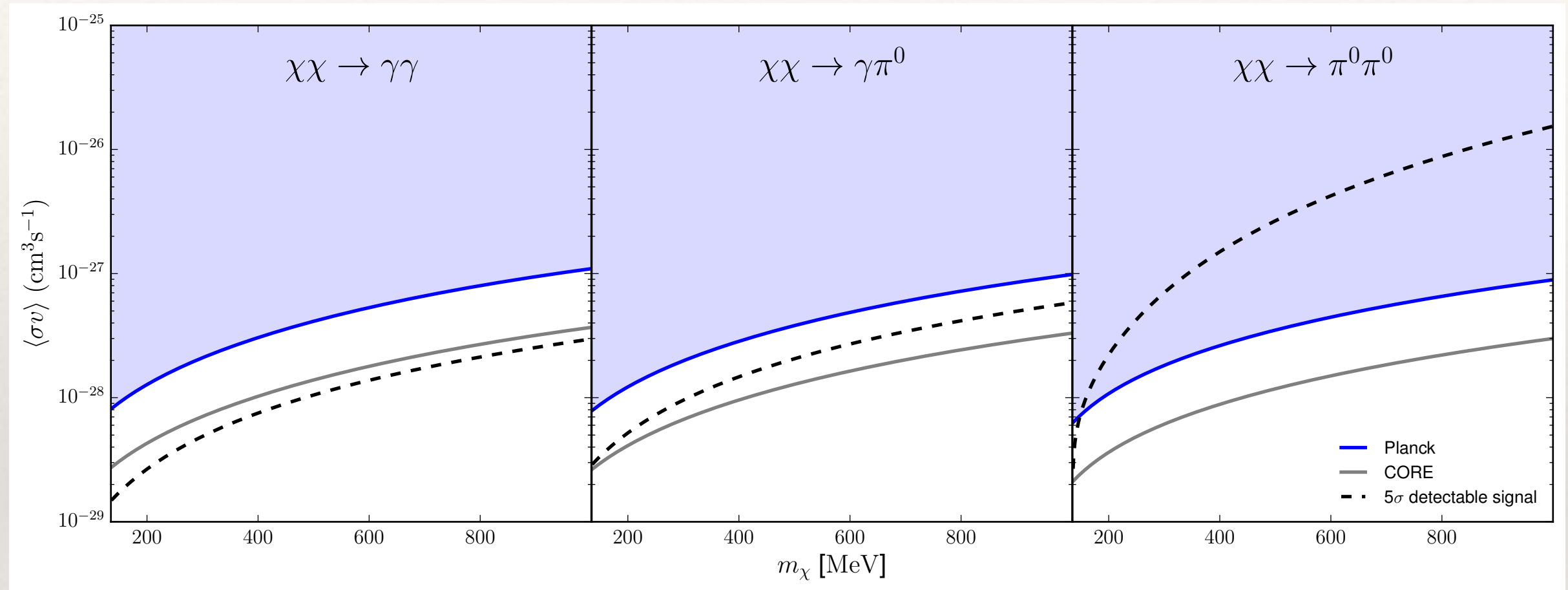
Construimos un detector hipotético
~ eASTROGAM

$$N_s = \phi \cdot T_{\text{obs}} \cdot A_{\text{eff}}$$

$$N_b \propto \int dE \frac{d\phi_b}{dE}$$

$$\langle \sigma v \rangle > 10 \sqrt{N_b} \frac{1}{\int_{E^-}^{E^+} dE \frac{dN}{dE}} \frac{4\pi}{A_{\text{eff}} T_{\text{obs}} J} m_\chi^2$$

Proyección de restricciones con CORE+ [12] $P_{\text{ann}} < 1.38 \times 10^{-28} \text{cm}^3 \text{s}^{-1} \text{GeV}^{-1}$
 Planck [13] $P_{\text{ann}} < 4.1 \times 10^{-28} \text{cm}^3 \text{s}^{-1} \text{GeV}^{-1}$

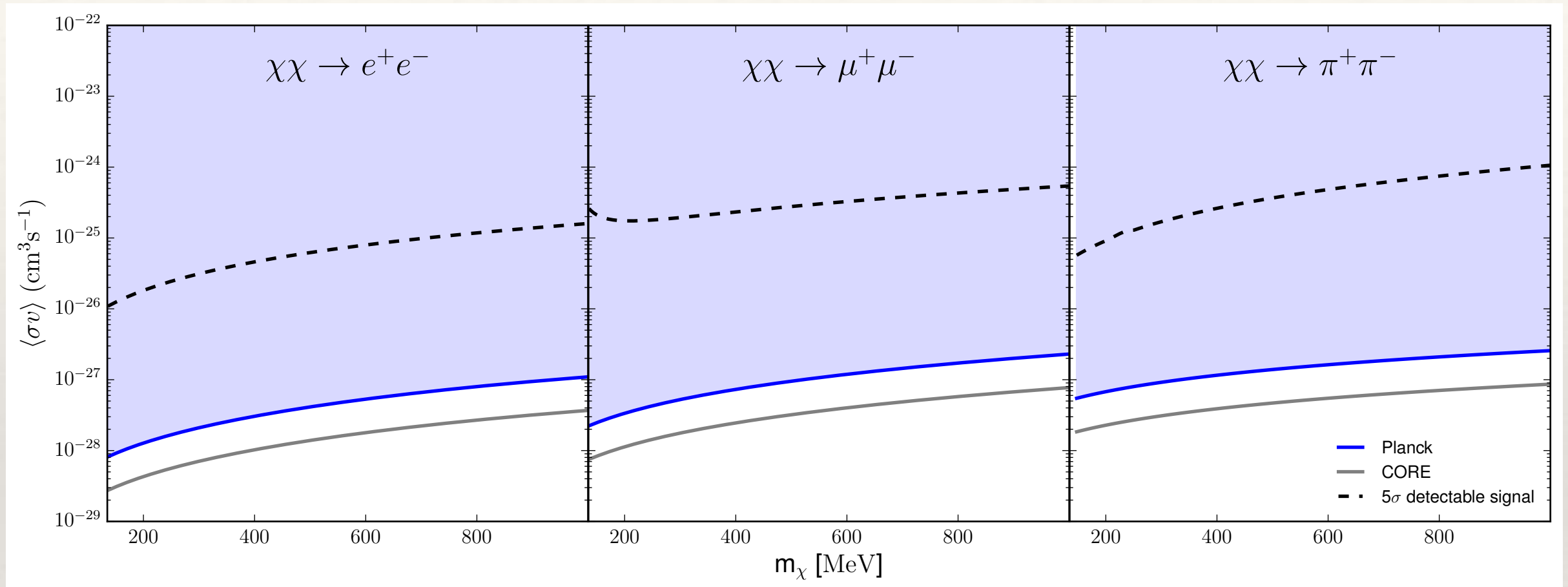


Draco

[12] E. Di Valentino et al. (CORE) (2016), 1612.00021.

[13] P. A. R. Ade et al. (Planck), Astron. Astrophys. 594, A13 (2016), 1502.01589.

Proyección de restricciones con CORE+ [12] $P_{\text{ann}} < 1.38 \times 10^{-28} \text{cm}^3 \text{s}^{-1} \text{GeV}^{-1}$
 Planck [13] $P_{\text{ann}} < 4.1 \times 10^{-28} \text{cm}^3 \text{s}^{-1} \text{GeV}^{-1}$

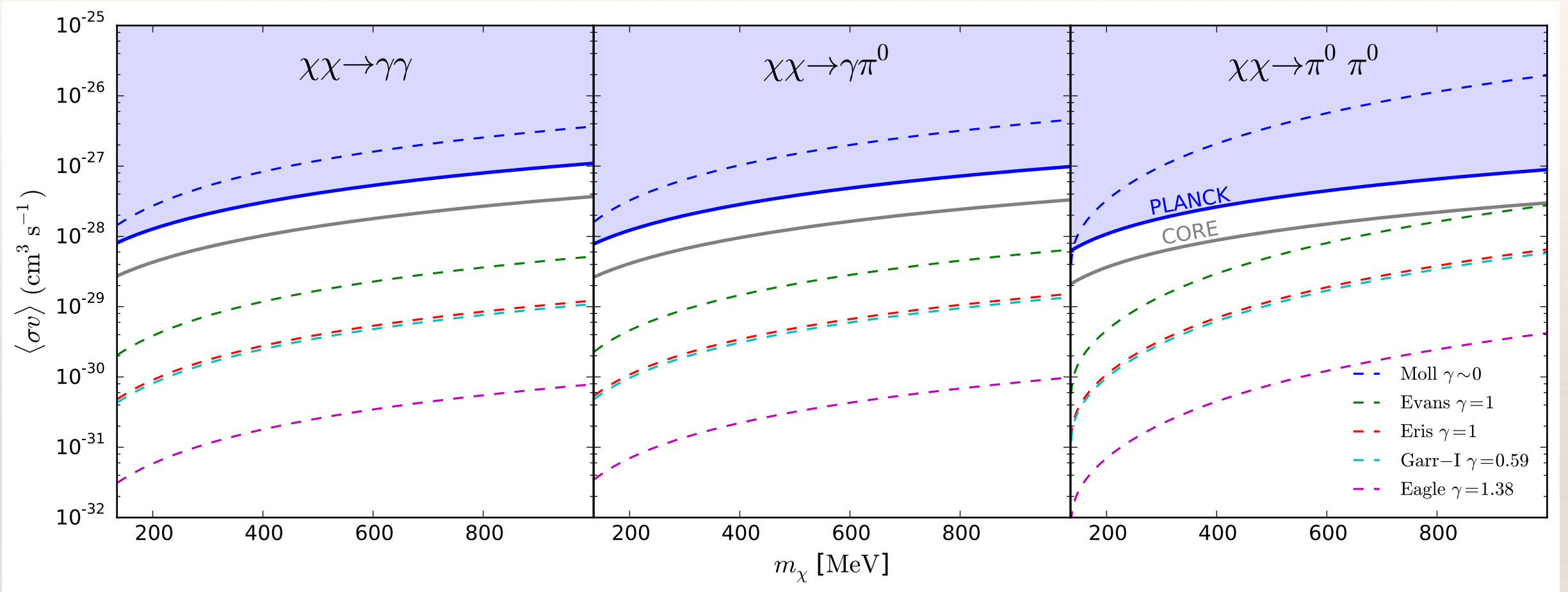


[12] E. Di Valentino et al. (CORE) (2016), 1612.00021.

[13] P. A. R. Ade et al. (Planck), Astron. Astrophys. 594, A13 (2016), 1502.01589.

Draco

Proyección de restricciones con CORE+ [12] $P_{\text{ann}} < 1.38 \times 10^{-28} \text{cm}^3 \text{s}^{-1} \text{GeV}^{-1}$
 Planck [13] $P_{\text{ann}} < 4.1 \times 10^{-28} \text{cm}^3 \text{s}^{-1} \text{GeV}^{-1}$

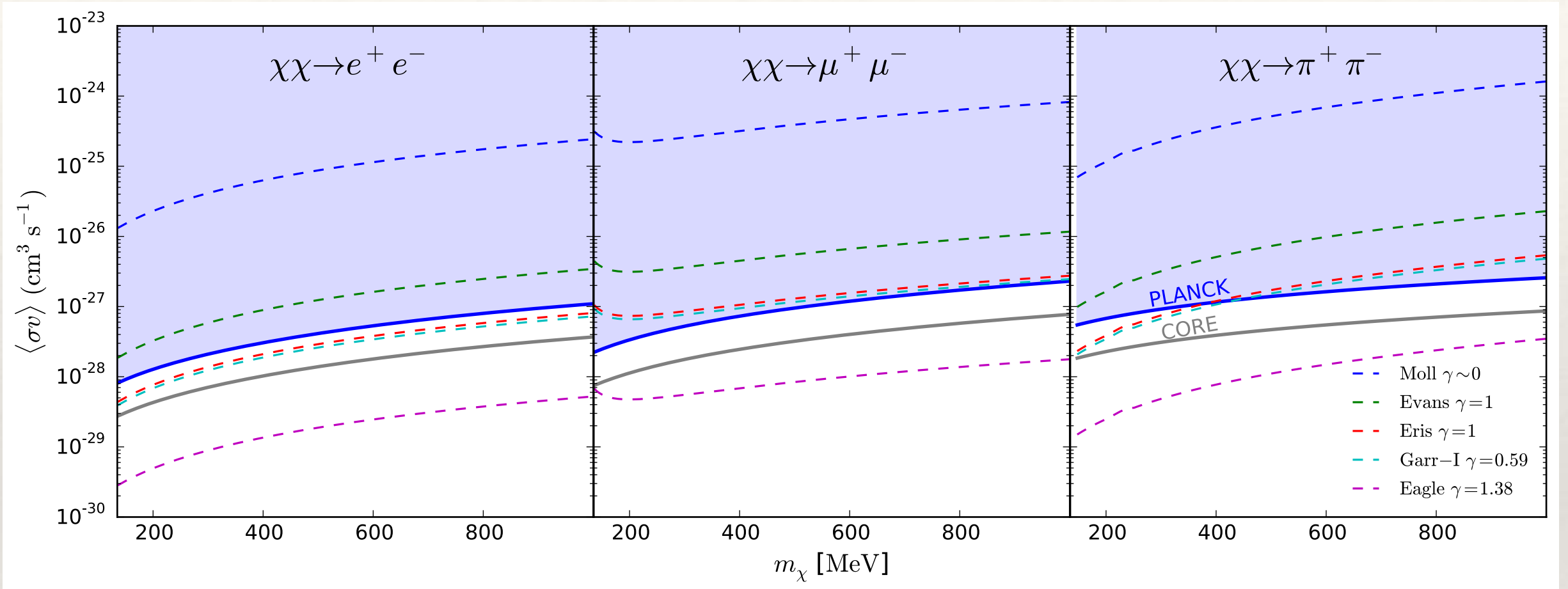


[12] E. Di Valentino et al. (CORE) (2016), 1612.00021.

[13] P. A. R. Ade et al. (Planck), Astron. Astrophys. 594, A13 (2016), 1502.01589.

GC

Proyección de restricciones con CORE+ [12] $P_{\text{ann}} < 1.38 \times 10^{-28} \text{cm}^3 \text{s}^{-1} \text{GeV}^{-1}$
 Planck [13] $P_{\text{ann}} < 4.1 \times 10^{-28} \text{cm}^3 \text{s}^{-1} \text{GeV}^{-1}$



[12] E. Di Valentino et al. (CORE) (2016), 1612.00021.

[13] P. A. R. Ade et al. (Planck), Astron. Astrophys. 594, A13 (2016), 1502.01589.

GC

Trabajo a futuro

- ❖ Restricciones en reionización con observaciones HI-21cm.
- ❖ Restricciones a partir de objetos “raros” como cúmulos globulares que parecen galaxias dSph’s.
- ❖ Cotas que provienen de LSS con Surveys de galaxias (Modelos con interacciones).

Gracias